

## 河道における濁度物質の生産・流出機構に関する研究

京都大学防災研究所 正員 芦田 和男

京都大学防災研究所 正員 江頭 遼治

日本建設コンサルタント 正員 小川 義忠

京都大学工学部 学生員 ○大槻 英樹

1. まえがき 微細土砂の輸送量や流水濃度に関する水理学的な予測法を確立するには、河道における微細土砂の流出機構の究明が必要である。主要な流出機構として、河道堆積物の侵食・堆積および流水と間隙水との交換現象<sup>1)</sup>が考えられ、本報においては、これらの機構を考慮した微細土砂の流出モデルを提案するとともに、モデルに含まれたパラメータについて、実験的検討を行う。

2. 微細土砂の流出モデル 上述の機構による微細土砂の流出  $\rho_e C_s q_s + \sigma_{dis} p_s q_s$  は、側岸侵食量  $q_s$ 、河床変動量  $\delta_{ss}$ 、側岸および河床における交換速度  $V_{es}$ 、 $V_{eb}$  を用いて表示でき、これを模式的に示すと図-1 のようである。ここで、添字  $s$  および  $b$  は、側岸および河床における現象について説明を加えれば、つぎのようである。堆積物中の微細土砂の含有率を  $p_s$ 、これをさらに、侵食と同時に流出する成分  $\delta_{is}$ 、粗い粒子の輸送過程において剥離する成分  $\delta_{ss}$  および最後まで剥離しない成分  $\delta_{bs}$  に分けると、 $\delta_{is} + \delta_{ss} + \delta_{bs} = 1$  である。側岸侵食に伴う流出成分は、間隙水中に浮遊している成分の流出も考慮して、 $\rho_e C_s q_s + \sigma_{dis} p_s q_s$  と表示される。(図-1①) ここに、  
 $\rho, \delta$  : 水および土砂粒子の密度、 $e$  : 堆積物の間隙比である。また、粗い粒子の輸送過程における流出(③)は、剥離過程に要する時間が短ければ、近似的に  $\sigma_{dis} p_s q_s$  と置けるので、 $\delta_{is} + \delta_{ss} = \delta'_s$  として、機構①に含めることができる。交換による流出量は、流水濃度  $C_s$ 、間隙水濃度  $C_b$  とすれば、  
 $2\rho \lambda_s h (C_s - C_b) V_{es}$  と表示できる。(②) 河床における流出も同様に議論できる。以上の機構を考慮して作られた微細土砂の收支式と、流体に関する連続式  $\partial A / \partial t + \partial Q / \partial x = e_s q_s - \lambda_b B \partial C / \partial x$  を用いると、次式が導かれる。

$$\partial C / \partial t + Q / A \cdot \partial C / \partial x = k_1 - k_2 C \quad (1)$$

ここに、 $k_1 = \{(\rho_e C_s + \sigma_p \cdot \delta'_{is} p_s) q_s + \lambda_b B C_b V_{eb} + 2\lambda_s h C_s V_{es} - [(\lambda_b C_b \partial C / \partial x + \sigma_p \cdot \delta'_{is} p_s (1-\lambda_b) B \partial C / \partial x - \lambda_b B \partial C / \partial x)]\} / A$ ,  $k_2 =$

$(e_s q_s + \lambda_b B V_{eb} + 2\lambda_s h V_{es}) / A$  である。ただし、河床上昇  $\partial C / \partial t > 0$  のときは、[ ] の項は 0 となる。上式において、一般に  $C_s \neq C_b \neq 0$  とされ、 $p_s$  や  $p_b$  を与えて、 $q_s$ 、 $\partial C / \partial t$ 、 $V_{es}$ 、 $V_{eb}$ 、 $\delta'_{is}$  および  $\delta'_{ss}$  を設定すれば、微細土砂の濃度および輸送量が算定される。これらのパラメータのうち、現象に対して最も支配的なものは、 $q_s$ 、 $V_{eb}$  および  $\delta'_{is}$  ( $= \delta_{is} + \delta_{ss}$ ) である。以下  $V_{eb}$  および

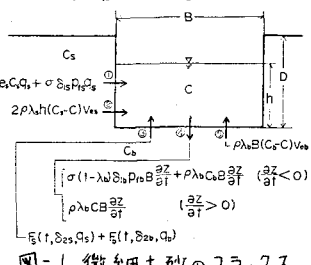


図-1. 微細土砂のフラックス

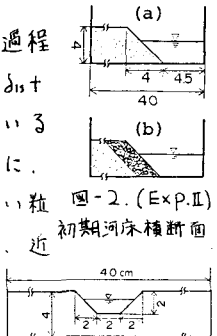
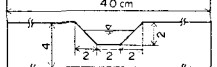
図-2. (Exp.II)  
初期河床横断面図-3. (Exp.III)  
初期河床横断面

表-1. 実験条件 (a) Exp. I

No.	$T_b$	$Q$ (cm³/s)	$C_s$ (g/cm³)	$B$ (cm)	$G_m$ (cm)	$\lambda$	duration
1	0.01	550	"	40	0.149	0.45	4.15
2	"	825	10.5	"	"	"	2.24
3	"	634	10.17	20	"	"	5.10
4	"	459	10.17	40	0.143	0.42	3.57
5	"	695	11.5	20	"	"	4.44
6	"	987	11.5	"	"	"	3.03
7	"	232	11.5	40	0.139	0.42	2.51
8	"	464	13.59	"	"	"	9.30
9	"	823	13.53	"	"	"	7.36
10	"	950	13.24	20	"	"	4.10

(b) Exp. II

$T_b$	$Q$ (cm³/s)	$d_m$ (cm)	$\lambda$	Bank
0.01	795	0.049	0.45	erodible
"	"	0.557	"	fixed

(c) Exp. III

$T_b$	$Q$ (cm³/s)	$d_m$ (cm)	$\lambda$
0.01	124	0.049	0.46

$s_{hs}$ に関して実験的に考察する。

3. 実験およびその結果の考察 幅40 cm、深さ15 cmのアクリル製長方形断面水路を用いて、表-1に示すようないくつかの実験が行われた。また、微細土砂としてパールクレイが、堆積物中の粗い成分として平均粒径  $d_m = 0.049, 0.143, 0.259$  および  $0.557 \text{ cm}$  の砂が用いられた。Exp. I は、粗い砂を水路底に敷きならし、パールクレイを用いて作られた濁水 ( $C_0 \text{ ppm}$ ) を上流端から定常的に給水し、その濃度の絶対変化から、交換速度  $V_{eb}$  を調べるための実験で、Exp. II は、水路右岸の1 mの区間にパールクレイと  $d_m = 0.049 \text{ cm}$  の砂の混合物を図-2(a)のような断面に整形して受食性区間を設け、その上流部0.5 mと下流部2.5 m区間の右岸に、 $d_m = 0.557 \text{ cm}$  の砂を図-2(b)のように敷きならして固定側岸とし、上流端から清水を給水して、流水濃度の変化や側岸から侵食されて河床に堆積した材料の粒度分布より、 $s_{hs}$ 、 $s_{ss}$  および  $s_{ds}$  を調べることを目的とした実験である。Exp. III は、(1)式の検討をすすめたために行われた実験である。この実験では、パールクレイと  $d_m = 0.049 \text{ cm}$  の砂の混合物を4 m区間にわたって、図-3のような断面に敷きならし、上流端より清水を給水して流水濃度や河道変動量の場所的・時間的变化が測定されている。

図-4は、 $V_{eb}$ に関する実験値を示したもので、間隙率入が一定の場合、次元解析的考察より  $V_{eb}/U_e$  は、 $U_e$  % および  $h/d$  の関数になることが導けるが、図より明らかかなように、 $V_{eb}/U_e$  は、ほぼ一定で、 $V_{eb}$  は摩擦速度にほぼ比例することがわかる。図-5は、河床に堆積したものに含まれるパールクレイの占有率  $p_{hs}$  の場所的变化を示したもので、同図より、受食性区間の下流部において、 $p_{hs}$  は  $0.1 \sim 0.2\%$  の範囲にあり、しかも、ほぼ一定であることがわかる。これは、二の種の実験条件においては、 $s_{hs}$  が小さく、また、 $p_{ds,ss}$  の剥離過程に要する時間が短く、 $s_{hs} + s_{ss} = s'_{hs}$  としてもよいことを意味するものである。図-6は、図-4, 5の結果より、 $V_{eb}/U_e (= V_{eb}/U_e) = 4.33 \times 10^{-3}$ 、 $s'_{hs} = 0.913$  とし、さらに  $s_{hs}$  を定めて、(1)式より算定された水路下流端における輸送量の累加分布と、Exp. II の結果とを比較したものである。同図より、両者はよく一致していることがわかる。

4. あとがき 河道における微細土砂の流出モデルを提案するとともに、モデルに含まれる二～三のパラメータについて実験的考察を加え、図-4, 5に示すような興味ある結果を得るとともに、本流出モデルの妥当性が示された。なお、流出モデルに関する種々の適用例については、講演時に述べる。

〈参考文献〉 1) 芦田・江頭・小川：土木学会関西支部年次学術講演会、II-59、1978

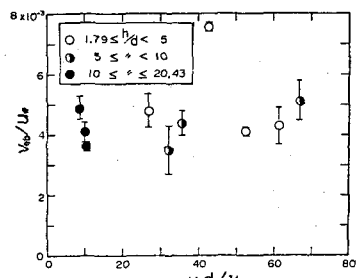


図-4.  $h/d$  をパラメータとする交換速度の無次元量と砂粒レイルズ数の関係

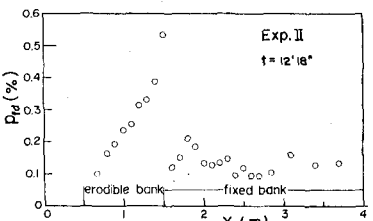


図-5 河床堆積物における微細土砂の含有率の場所的変化

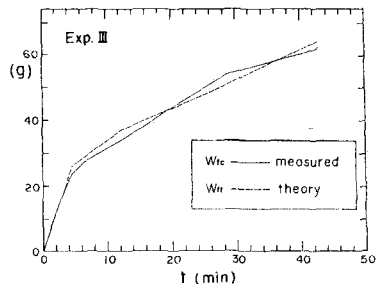


図-6 実測濃度および計算濃度より見積られる、微細土砂の流出量に関する累加曲線